

## 材料の力学1 Step 3 第10回演習問題 (2019/7/2 実施)

- [1] 図1のように, 一方の端(点O)が壁に固定された長さ  $4L$  のはりにおいて, 点A( $x=3L$ )に集中荷重  $P=2pL$  が下向き, 全体に分布荷重  $p$  が上向きに負荷されている. はりの縦弾性係数を  $E$ , 断面2次モーメントを  $I$  として, 以下の問い合わせに答えよ.

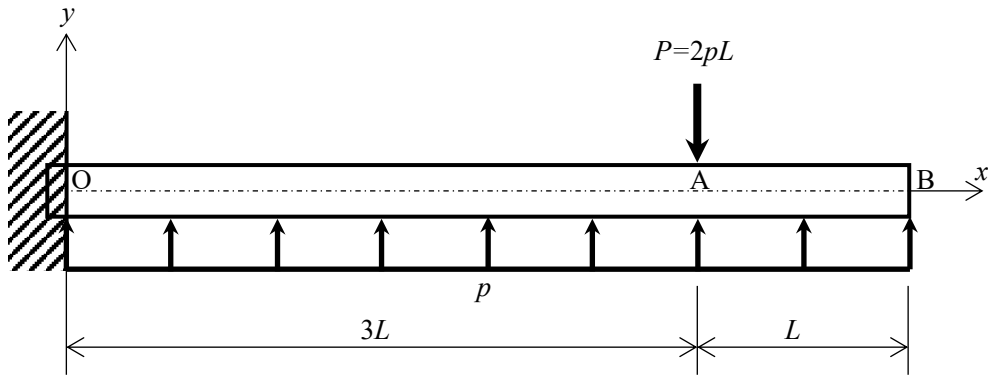


Fig. 1 壁に固定された荷重を受けるはり.

- (1) はりのFBDを描き, 点Oに作用する反力  $R_O$ , 反モーメント  $M_O$ をそれぞれ求めよ.
- (2) はりに生じるせん断力  $Q(x)$ , 曲げモーメント  $M(x)$ をそれぞれ求め, SFDおよびBMDを図示せよ.
- (3) はりのたわみ角  $v'(x)$ およびたわみ  $v(x)$ に関して成り立つ境界条件を4つ求めよ. なお,  $0 \leq x \leq 3L$  でのたわみ角, たわみをそれぞれ  $v_1'(x)$ ,  $v_1(x)$  および  $3L \leq x \leq 4L$  でのたわみ角, たわみをそれぞれ  $v_2'(x)$ ,  $v_2(x)$  とする.
- (4) はりのたわみ角  $v'(x)$ , たわみ  $v(x)$ をそれぞれ求めよ.

(1) はりの FBD を描き、点 O に作用する反力  $R_O$ 、反モーメント  $M_O$  をそれぞれ求めよ。

はりの FBD は

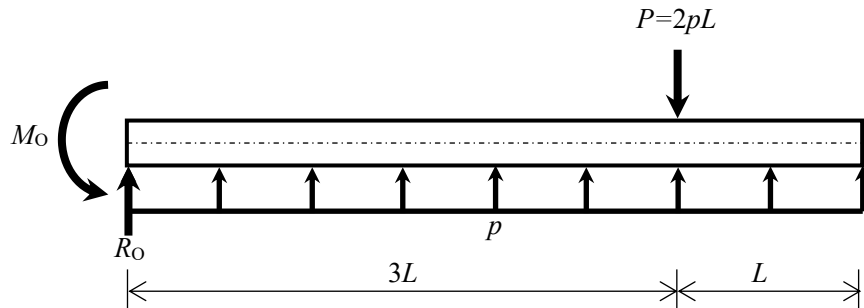


Fig 1.1 はり全体の FBD.

と表される。図 1.1 より、はり全体に関する力のつり合い式および点 O まわりのモーメントのつり合い式は

$$R_O + 4pL - P = 0 \quad (1.1)$$

$$\begin{aligned} -M_O - \int_0^{4L} pxdx + P \cdot 3L &= 0 \\ -M_O - 8pL^2 + 3PL &= 0 \end{aligned} \quad (1.2)$$

で表される。これらより、点 O に作用する反力  $R_O$ 、反モーメント  $M_O$  は

$$\begin{aligned} R_O &= P - 4pL \\ &= 2pL - 4pL \\ &= -2pL \end{aligned} \quad (1.3)$$

$$\begin{aligned} M_O &= 3PL - 8pL^2 \\ &= 6pL^2 - 8pL^2 \\ &= -2pL^2 \end{aligned} \quad (1.4)$$

となる。

(2) はりに生じるせん断力  $Q(x)$ , 曲げモーメント  $M(x)$ をそれぞれ求め, SFD および BMD を図示せよ.

(i)  $0 \leq x \leq 3L$  の場合

この場合の仮想断面に生じるせん断力を  $Q_1(x)$ , 曲げモーメントを  $M_1(x)$ とする. このとき FBD を描くと以下のようになる.

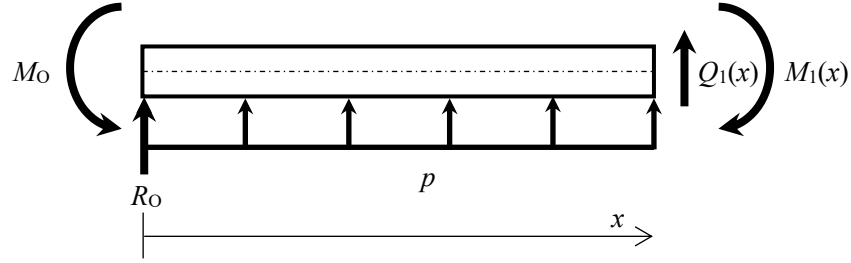


Fig. 1.2 はりの FBD ( $0 \leq x \leq 3L$  の場合).

図 1.2 より, はりに関する力のつり合い式および位置  $x$  まわりのモーメントのつり合い式は

$$Q_1(x) + R_0 + px = 0 \quad (1.5)$$

$$\begin{aligned} -M_0 + R_0 x + \int_0^x p x dx + M_1(x) &= 0 \\ -M_0 + R_0 x + \frac{1}{2} p x^2 + M_1(x) &= 0 \end{aligned} \quad (1.6)$$

で表される. これらより, はりに生じるせん断力  $Q_1(x)$ , 曲げモーメント  $M_1(x)$ は式(1.3), 式(1.4)を踏まえると

$$\begin{aligned} Q_1(x) &= -px - R_0 \\ &= -px + 2pL \end{aligned} \quad (1.7)$$

$$\begin{aligned} M_1(x) &= -\frac{1}{2} p x^2 - R_0 x + M_0 \\ &= -\frac{1}{2} p x^2 + 2pLx - 2pL^2 \end{aligned} \quad (1.8)$$

となる.

( ii )  $3L \leq x \leq 4L$  の場合

この場合の仮想断面に生じるせん断力を  $Q_2(x)$ , 曲げモーメントを  $M_2(x)$  とする. このとき FBD を描くと以下のようになる.

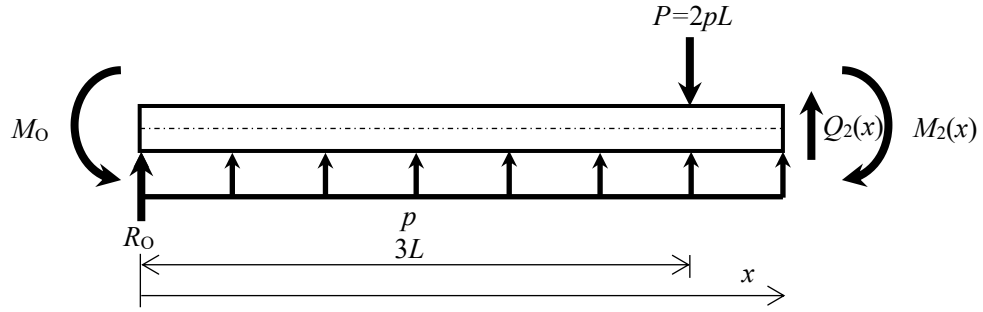


Fig. 1.3 はりの FBD (  $3L \leq x \leq 4L$  の場合).

図 1.3 より, はりに関する力のつり合い式および位置  $x$  まわりのモーメントのつり合い式は

$$Q_2(x) + R_O + px - P = 0 \quad (1.9)$$

$$\begin{aligned} -M_O + R_O x + \int_0^x p x dx - P(x-3L) + M_2(x) &= 0 \\ -M_O + R_O x + \frac{1}{2} p x^2 - P(x-3L) + M_2(x) &= 0 \end{aligned} \quad (1.10)$$

で表される. これらより, はりに生じるせん断力  $Q_2(x)$ , 曲げモーメント  $M_2(x)$  は式(1.3), 式(1.4)を踏まえると

$$\begin{aligned} Q_2(x) &= -px + P - R_O \\ &= -px + 2pL + 2pL \\ &= -px + 4pL \end{aligned} \quad (1.11)$$

$$\begin{aligned} M_2(x) &= -\frac{1}{2} p x^2 - R_O x + P(x-3L) + M_O \\ &= -\frac{1}{2} p x^2 + 2pLx + 2pL(x-3L) - 2pL^2 \\ &= -\frac{1}{2} p x^2 + 4pLx - 8pL^2 \end{aligned} \quad (1.12)$$

となる。

よって、はりに生じるせん断力  $Q(x)$ 、曲げモーメント  $M(x)$  は

$$Q(x) = \begin{cases} -px + 2pL & (0 \leq x \leq 3L) \\ -px + 4pL & (3L \leq x \leq 4L) \end{cases} \quad (1.13)$$

$$M(x) = \begin{cases} -\frac{1}{2}px^2 + 2pLx - 2pL^2 & (0 \leq x \leq 3L) \\ -\frac{1}{2}px^2 + 4pLx - 8pL^2 & (3L \leq x \leq 4L) \end{cases} \quad (1.14)$$

と表される。以上を用いると、SFD と BMD はそれぞれ以下のようになる。

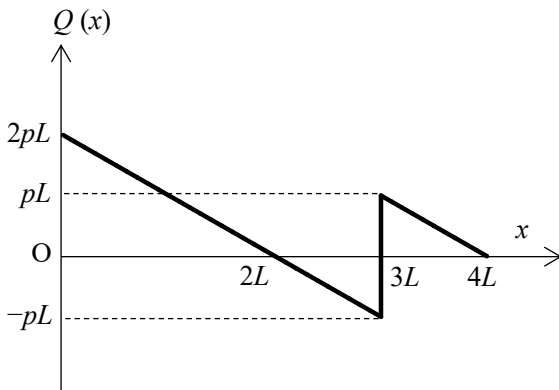


Fig 1.4 SFD

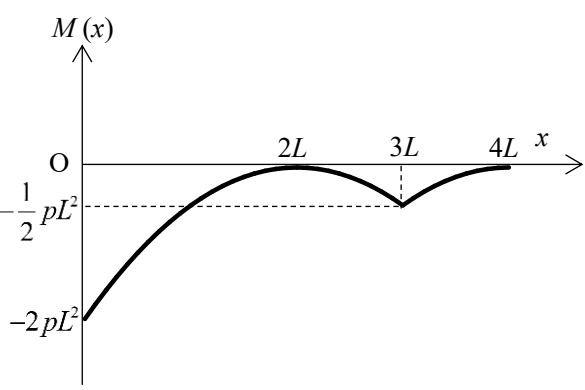


Fig 1.5 BMD

(3) はりのたわみ角  $v'(x)$  およびたわみ  $v(x)$  に関して成り立つ境界条件を 4 つ求めよ。なお、  
 $0 \leq x \leq 3L$  でのたわみ角、たわみをそれぞれ  $v_1'(x)$ 、 $v_1(x)$  および  $3L \leq x \leq 4L$  でのたわみ角、たわみをそれぞれ  $v_2'(x)$ 、 $v_2(x)$  とする。

まず、 $x=0$  においてはりが壁に固定されていることから  $x=0$  でのたわみ角  $v_1'(x)$ 、たわみ  $v_1(x)$  は 0 となる。よって、以下の 2 つの境界条件が得られる。

$$v_1'(0) = 0 \quad (1.15)$$

$$v_1(0) = 0 \quad (1.16)$$

次に、 $x=3L$  においてたわみ角  $v'(x)$  およびたわみ  $v(x)$  は連続である。よって、以下の 2 つの境界条件が得られる。

$$v'_1(3L) = v'_2(3L) \quad (1.17)$$

$$v_1(3L) = v_2(3L) \quad (1.18)$$

(4) はりのたわみ角  $v'(x)$ , たわみ  $v(x)$ をそれぞれ求めよ.

はりのたわみに関する基礎式は

$$-EIv''(x) = M(x) \quad (1.19)$$

で表される.

(i)  $0 \leq x \leq 3L$  の場合

式(1.19)に式(1.14)を代入すると以下のようになる.

$$\begin{aligned} -EIv''_1(x) &= M_1(x) \\ &= -\frac{1}{2}px^2 + 2pLx - 2pL^2 \end{aligned} \quad (1.20)$$

これを解くと

$$v'_1(x) = \frac{1}{EI} \left( \frac{1}{6}px^3 - pLx^2 + 2pL^2x + C_1 \right) \quad (1.21)$$

$$v_1(x) = \frac{1}{EI} \left( \frac{1}{24}px^4 - \frac{1}{3}pLx^3 + pL^2x^2 + C_1x + C_2 \right) \quad (1.22)$$

となる. ここで, 式(1.15), 式(1.16)より  $C_1$  と  $C_2$  を導出する.

$$\begin{aligned} v'_1(0) &= 0 \\ C_1 &= 0 \end{aligned} \quad (1.23)$$

$$\begin{aligned} v_1(0) &= 0 \\ C_2 &= 0 \end{aligned} \quad (1.24)$$

得られた  $C_1$ ,  $C_2$  よりたわみ角  $v_1'(x)$ , たわみ  $v_1(x)$  は

$$v'_1(x) = \frac{1}{EI} \left( \frac{1}{6} px^3 - pLx^2 + 2pL^2x \right) \quad (1.25)$$

$$v_1(x) = \frac{1}{EI} \left( \frac{1}{24} px^4 - \frac{1}{3} pLx^3 + pL^2x^2 \right) \quad (1.26)$$

となる。

(ii)  $3L \leq x \leq 4L$  の場合

式(1.19)に式(1.14)を代入すると以下のようになる。

$$\begin{aligned} -EIv''_2(x) &= M_2(x) \\ &= -\frac{1}{2} px^2 + 4pLx - 8pL^2 \end{aligned} \quad (1.27)$$

これを解くと

$$v'_2 = \frac{1}{EI} \left( \frac{1}{6} px^3 - 2pLx^2 + 8pL^2x + C_3 \right) \quad (1.28)$$

$$v_2 = \frac{1}{EI} \left( \frac{1}{24} px^4 - \frac{2}{3} pLx^3 + 4pL^2x^2 + C_3x + C_4 \right) \quad (1.29)$$

となる。ここで、式(1.17)、式(1.18)より  $C_3$  と  $C_4$  を導出する。

$$\begin{aligned} v'_1(3L) &= v'_2(3L) \\ \frac{1}{EI} \left( \frac{1}{6} p(3L)^3 - pL(3L)^2 + 2pL^2(3L) \right) &= \frac{1}{EI} \left( \frac{1}{6} p(3L)^3 - 2pL(3L)^2 + 8pL^2(3L) + C_3 \right) \\ C_3 &= -9pL^3 \end{aligned} \quad (1.30)$$

$$\begin{aligned} v'_1(3L) &= v'_2(3L) \\ \frac{1}{EI} \left( \frac{1}{24} p(3L)^4 - \frac{1}{3} pL(3L)^3 + pL^2(3L)^2 \right) &= \frac{1}{EI} \left( \frac{1}{24} p(3L)^4 - \frac{2}{3} pL(3L)^3 + 4pL^2(3L)^2 + C_3(3L) + C_4 \right) \\ C_4 &= 9pL^4 \end{aligned} \quad (1.31)$$

となる. 得られた  $C_3, C_4$  よりたわみ角  $v_2'(x)$ , たわみ  $v_2(x)$  は

$$v_2' = \frac{1}{EI} \left( \frac{1}{6} px^3 - 2pLx^2 + 8pL^2x - 9pL^3 \right) \quad (1.32)$$

$$v_2 = \frac{1}{EI} \left( \frac{1}{24} px^4 - \frac{2}{3} pLx^3 + 4pL^2x^2 - 9pL^3x + 9pL^4 \right) \quad (1.33)$$

となる.

よって, はりのたわみ角  $v'(x)$ , はりのたわみ  $v(x)$  は

$$v'(x) = \begin{cases} \frac{1}{EI} \left( \frac{1}{6} px^3 - pLx^2 + 2pL^2x \right) & (0 \leq x \leq 3L) \\ \frac{1}{EI} \left( \frac{1}{6} px^3 - 2pLx^2 + 8pL^2x - 9pL^3 \right) & (3L \leq x \leq 4L) \end{cases} \quad (1.34)$$

$$v(x) = \begin{cases} \frac{1}{EI} \left( \frac{1}{24} px^4 - \frac{1}{3} pLx^3 + pL^2x^2 \right) & (0 \leq x \leq 3L) \\ \frac{1}{EI} \left( \frac{1}{24} px^4 - \frac{2}{3} pLx^3 + 4pL^2x^2 - 9pL^3x + 9pL^4 \right) & (3L \leq x \leq 4L) \end{cases} \quad (1.35)$$

となる.

- [2] 図 2 のように、両端を単純支持された直径  $d$ 、長さ  $4L$  の円形断面を持つはり OA において、点 B ( $x=L$ )、点 D ( $x=3L$ ) に集中荷重  $2P$  がそれぞれ下向き、点 C ( $x=2L$ ) に集中荷重  $P$  が上向きに負荷されている。丸棒の縦弾性係数を  $E$  として、以下の問い合わせに答えよ。

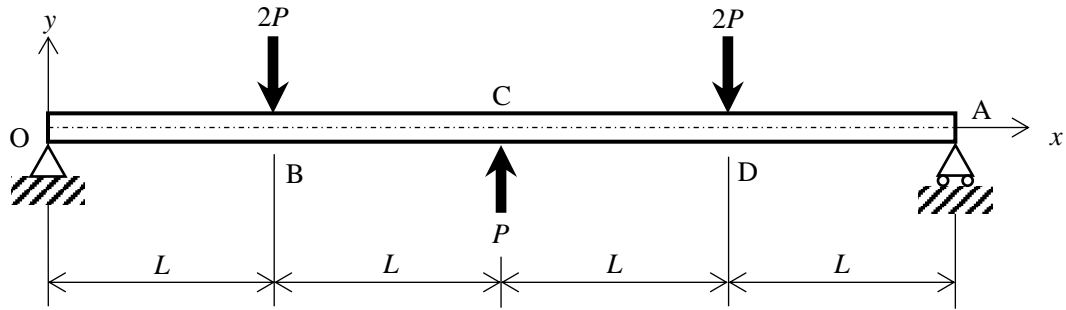


Fig. 2 両端を単純支持された荷重を受けるはり。

- (1) はりの断面 2 次モーメント  $I_z$  を求めよ。

以下の問題では、はりの断面 2 次モーメントを  $I$  として解答せよ。

- (2) 対称性を利用して点 O、A に作用する反力  $R_O$ 、 $R_A$  を求め、はり全体の SFD、BMD を図示せよ。
- (3) 点 O におけるたわみ  $v_O$ 、点 C におけるたわみ角  $v'_C$  を求めよ。
- (4) はりのたわみ角  $v'(x)$ 、たわみ  $v(x)$  を求め、点 C におけるたわみ  $v_C$  を求めよ。ただし、求めるはりのたわみ角  $v'(x)$ 、たわみ  $v(x)$  は対称性を考慮し  $0 \leq x \leq 2L$  の範囲でよい。

(1) はりの断面2次モーメント  $I_z$  を求めよ.

図2.1に示す円形断面のはりについて、 $z$ 軸に関する断面2次モーメントを求める.

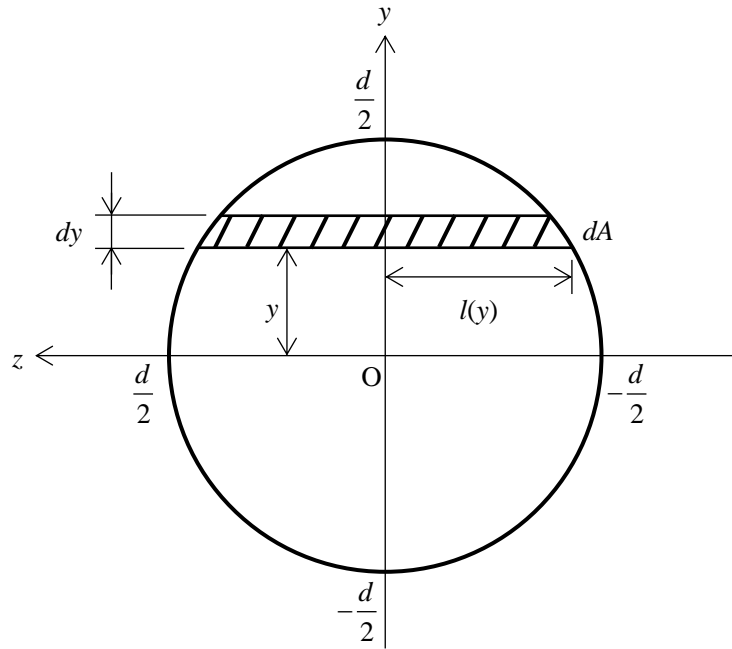


Fig. 2.1 はりの断面.

$dA$  と  $dy$  について

$$\begin{aligned} dA &= 2l(y)dy \\ &= 2\sqrt{\frac{d^2}{4} - y^2}dy \end{aligned} \tag{2.1}$$

が成り立ち、

$$y = \frac{d}{2} \sin \theta \tag{2.2}$$

とすると

$$dy = \frac{d}{2} \cos \theta d\theta \tag{2.3}$$

$$dA = \frac{d^2}{2} \cos^2 \theta d\theta \quad (2.4)$$

となり、積分区間は

$$0 \leq \theta \leq \frac{\pi}{2} \quad (2.5)$$

となる。式(2.2), 式(2.4), 式(2.5)を用いて断面二次モーメント  $I_z$  を計算すると

$$\begin{aligned} I_z &= \int_A y^2 dA \\ &= 2 \int_0^{\frac{\pi}{2}} y^2 \cdot \frac{d^2}{2} \cos^2 \theta d\theta \\ &= \frac{d^4}{4} \int_0^{\frac{\pi}{2}} \sin^2 \theta \cos^2 \theta d\theta \\ &= \frac{\pi d^4}{64} \end{aligned} \quad (2.6)$$

と求められる。

(2) 対称性を利用して点  $O$ ,  $A$  に作用する反力  $R_O$ ,  $R_A$  を求め、はり全体の SFD, BMD を図示せよ。

はり全体の FBD を以下の図 2.1 に示す。

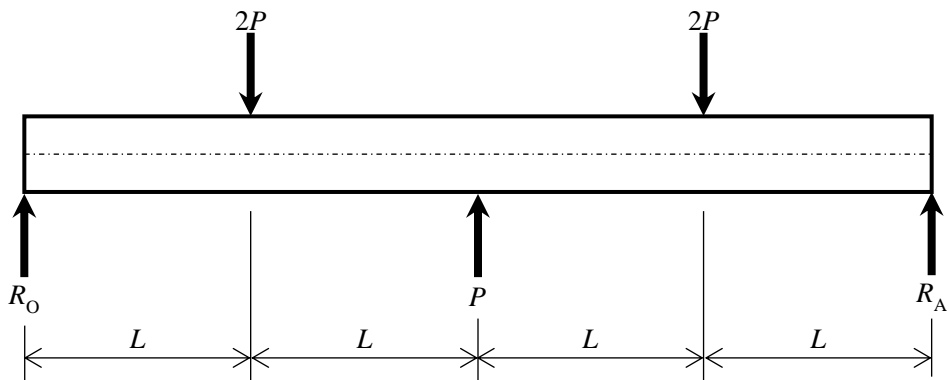


Fig 2.1 はり全体の FBD.

力のつり合い式より

$$R_O - 2P + P - 2P + R_A = 0 \quad (2.7)$$

$$R_O + R_A = 3P \quad (2.8)$$

である。対称性より  $R_O=R_A$  であるから

$$R_O = R_A = \frac{3}{2}P \quad (2.9)$$

となる。

以下、位置  $x$  におけるせん断力を  $Q(x)$ 、モーメントを  $M(x)$  として場合分けをする。

(i)  $0 \leq x \leq L$  の場合

FBD は図 2.2 のようになる。

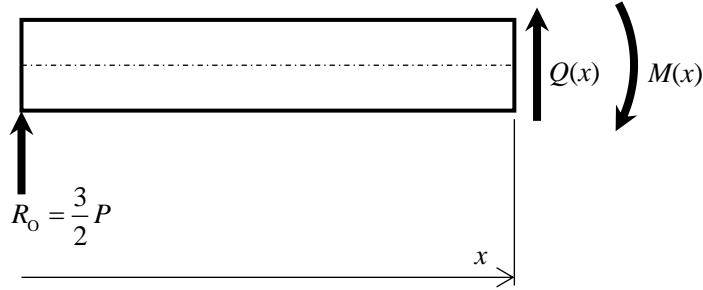


Fig. 2.2 FBD ( $0 \leq x \leq L$ ) .

はりについて力のつり合い式、位置  $x$  まわりのモーメントのつり合い式を立てると

$$\frac{3}{2}P + Q(x) = 0 \quad (2.10)$$

$$\frac{3}{2}Px + M(x) = 0 \quad (2.11)$$

となり、せん断力  $Q(x)$ 、モーメント  $M(x)$  はそれぞれ

$$Q(x) = -\frac{3}{2}P \quad (2.12)$$

$$M(x) = -\frac{3}{2}Px \quad (2.13)$$

となる。

(ii)  $L \leq x \leq 2L$  の場合

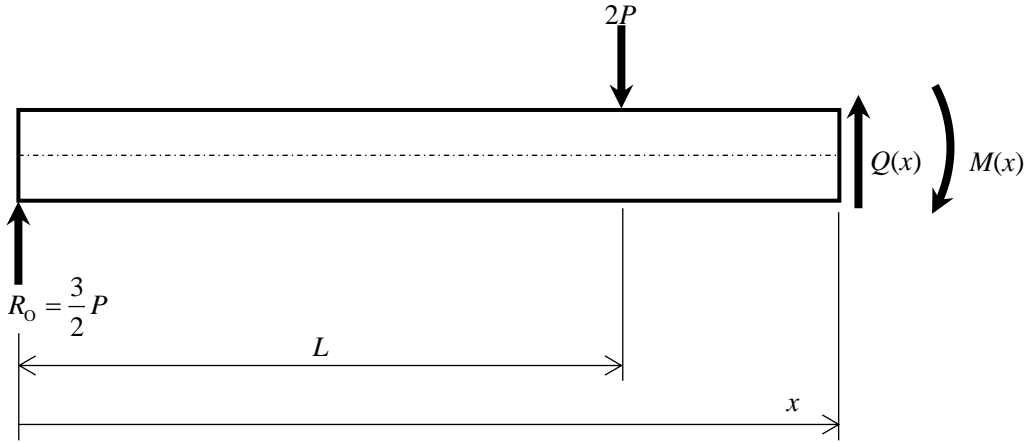


Fig 2.3 FBD ( $L \leq x \leq 2L$ ).

(i) 同様に力のつり合い式、位置  $x$  まわりのモーメントのつり合い式を立てると

$$\frac{3}{2}P - 2P + Q(x) = 0 \quad (2.14)$$

$$\frac{3}{2}Px - 2P(x-L) + M(x) = 0 \quad (2.15)$$

となり、せん断力  $Q(x)$ 、モーメント  $M(x)$  はそれぞれ

$$Q(x) = \frac{P}{2} \quad (2.16)$$

$$M(x) = \frac{1}{2}Px - 2PL \quad (2.17)$$

となる。

せん断力  $Q(x)$ について、はりの中央である C 点に荷重が付加されていることから SFD は線対称にはならないため、 $2L \leq x \leq 3L$ ,  $3L \leq x \leq 4L$  の範囲に関しても求める。

(iii)  $2L \leq x \leq 3L$  の場合

FBD を以下の図 2.4 に示す。

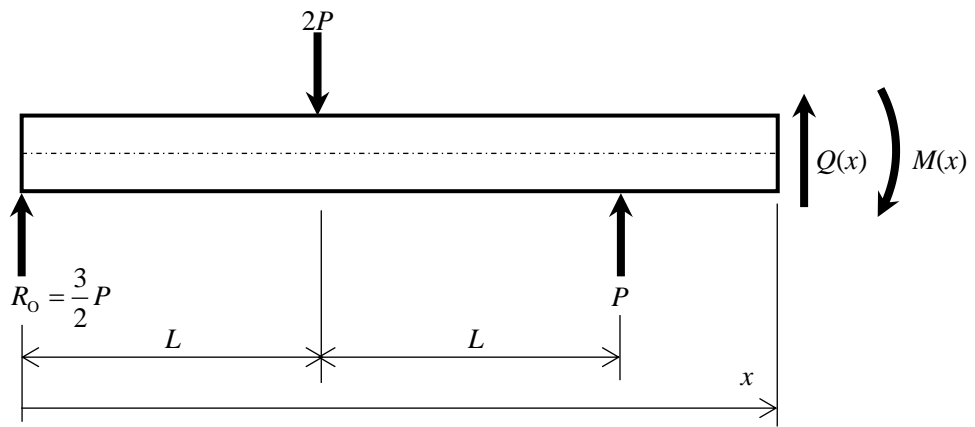


Fig. 2.4 FBD ( $2L \leq x \leq 3L$ ) .

はりについて力のつり合い式を立てると

$$\frac{3}{2}P - 2P + P + Q(x) = 0 \quad (2.18)$$

となり，せん断力  $Q(x)$  は

$$Q(x) = -\frac{1}{2}P \quad (2.19)$$

と求められる。

(iv)  $3L \leq x \leq 4L$  の場合

FBD を以下の図 2.5 に示す。

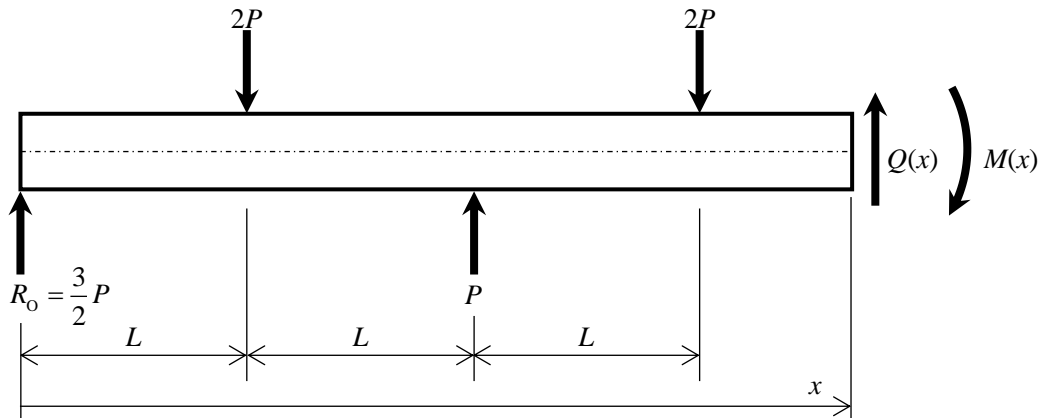


Fig. 2.5 FBD ( $3L \leq x \leq 4L$ ) .

はりについて力のつり合い式を立てると

$$\frac{3}{2}P - 2P + P - 2P + Q(x) = 0 \quad (2.20)$$

となり、せん断力  $Q(x)$  は

$$Q(x) = \frac{3}{2}P \quad (2.21)$$

と求められる。

以上より、BMD について対称性を考慮すると SFD, BMD はそれぞれ以下に示す図 2.6, 図 2.7 のようになる。

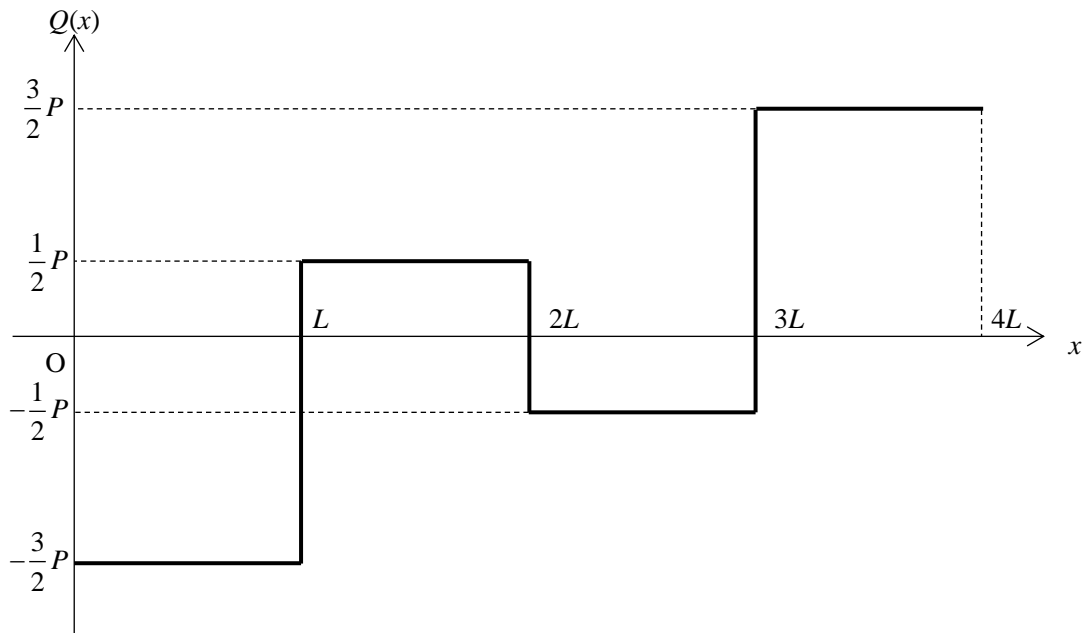


Fig. 2.6 SFD.

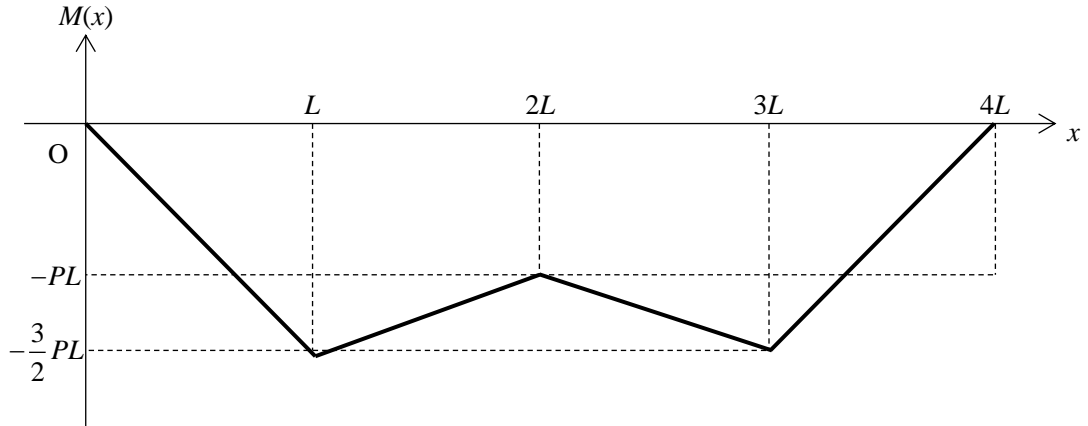


Fig. 2.7 BMD.

図 2.6 より荷重がはりに対称に付加された場合、SFD は点対称となる。

(3) 点 O におけるたわみ  $v_0$ 、点 C におけるたわみ角  $v'_C$  を求めよ。

点 O においてはりは単純支持されているため、たわみ  $v_0$  は

$$v_0 = 0 \quad (2.22)$$

を満たす。また、点 C に関してはりは対称であるため、たわみ角  $v'_C$  は

$$v'_C = 0 \quad (2.23)$$

となる。

(4)  $0 \leq x \leq 2L$  の範囲ではりのたわみ  $v(x)$ 、たわみ角  $v'(x)$  を求め、点 C におけるたわみ  $v_C$  を求めよ。

OB 間のたわみ角およびたわみをそれぞれ  $v_1'(x)$ 、 $v_1(x)$ 、BC 間のたわみ角およびたわみをそれぞれ  $v_2'(x)$ 、 $v_2(x)$  とする。たわみの基礎式は

$$-EIv''(x) = M(x) \quad (2.24)$$

と表される。 $0 \leq x \leq L$  の場合、式(2.10)を式(2.21)に代入し

$$-EIv_1''(x) = -\frac{3}{2}Px \quad (2.25)$$

となる. これを積分することで

$$v'_1(x) = \frac{1}{EI} \left( \frac{3}{4} Px^2 + C_1 \right) \quad (2.26)$$

$$v_1(x) = \frac{1}{EI} \left( \frac{1}{4} Px^3 + C_1 x + C_2 \right) \quad (2.27)$$

と求められる.  $L \leq x \leq 2L$  の場合, 式(2.14)を式(2.21)に代入し

$$-EIv''_2(x) = \frac{1}{2} Px - 2PL \quad (2.28)$$

となる. これを積分して

$$v'_2(x) = \frac{1}{EI} \left( -\frac{1}{4} Px^2 + 2PLx + C_3 \right) \quad (2.29)$$

$$v_2(x) = \frac{1}{EI} \left( -\frac{1}{12} Px^3 + PLx^2 + C_3 x + C_4 \right) \quad (2.30)$$

となる.

ここで, 式(2.19), (2.20)より

$$v_1(0) = \frac{1}{EI} \left( \frac{1}{4} P \cdot 0 + C_1 \cdot 0 + C_2 \right) = 0$$

$$\therefore C_2 = 0 \quad (2.31)$$

$$v'_2(2L) = \frac{1}{EI} \left( -\frac{1}{4} P \cdot (2L)^2 + 2PL \cdot 2L + C_3 \right) = 0$$

$$\therefore C_3 = -3PL^2 \quad (2.32)$$

となる. また, 点Bにおいてはりは連続であるため

$$v'_1(L) = v'_2(L) \quad (2.33)$$

$$v_1(L) = v_2(L) \quad (2.34)$$

が成り立つことから式(2.28), (2.29)を踏まえると

$$\begin{aligned}
v_1'(L) &= v_2'(L) \\
\frac{1}{EI} \left( \frac{3}{4} PL^2 + C_1 \right) &= \frac{1}{EI} \left( -\frac{1}{4} PL^2 + 2PL^2 - 3PL^2 \right) \\
C_1 &= -2PL^2
\end{aligned} \tag{2.35}$$

$$\begin{aligned}
v_1(L) &= v_2(L) \\
\frac{1}{EI} \left( \frac{1}{4} PL^3 - 2PL^3 \right) &= \frac{1}{EI} \left( -\frac{1}{12} PL^3 + PL^3 - 3PL^3 + C_4 \right) \\
C_4 &= \frac{1}{3} PL^3
\end{aligned} \tag{2.36}$$

と求められる。

以上より、 $0 \leq x \leq 2L$  の範囲におけるはりのたわみ角  $v'(x)$ 、たわみ  $v(x)$  は

$$v'(x) = \begin{cases} \frac{P}{EI} \left( \frac{3}{4} x^2 - 2L^2 \right) & (0 \leq x \leq L) \\ \frac{P}{EI} \left( -\frac{1}{4} x^2 + 2Lx - 3L^2 \right) & (L \leq x \leq 2L) \end{cases} \tag{2.37}$$

$$v(x) = \begin{cases} \frac{P}{EI} \left( \frac{1}{4} x^3 - 2L^2 x \right) & (0 \leq x \leq L) \\ \frac{P}{EI} \left( -\frac{1}{12} x^3 + Lx^2 - 3L^2 x + \frac{1}{3} L^3 \right) & (L \leq x \leq 2L) \end{cases} \tag{2.38}$$

となる。点 C におけるたわみ  $v_C$  は

$$\begin{aligned}
v(2L) &= \frac{P}{EI} \left( -\frac{1}{12} (2L)^3 + L \cdot (2L)^2 - 3L^2 \cdot 2L + \frac{1}{3} L^3 \right) \\
&= -\frac{7PL^3}{3EI}
\end{aligned} \tag{2.39}$$

と求められる。

## 補足

### (i) (1)の別解

はりの断面について  $z$  軸が図心を通るため、断面 2 次モーメント  $I_y, I_z$  と断面 2 次極モーメント  $I_p$  との間に以下の関係が成り立つ。

$$\begin{aligned}
 I_p &= \int_A r^2 dA \\
 &= \int_A (y^2 + z^2) dA \\
 &= \int_A y^2 dA + \int_A z^2 dA \\
 &= I_y + I_z
 \end{aligned} \tag{2.A-1}$$

はりの断面は円形であるので

$$\begin{aligned}
 I_y &= I_z \\
 I_z &= \frac{1}{2} I_p
 \end{aligned} \tag{2.A-2}$$

が成り立つ。よって断面 2 次モーメント  $I_z$  は

$$\begin{aligned}
 I_z &= \frac{1}{2} I_p \\
 &= \frac{1}{2} \int_A r^2 dA \\
 &= \frac{1}{2} \int_0^{\frac{d}{2}} r^2 \cdot 2\pi r dr \\
 &= \frac{\pi d^4}{64}
 \end{aligned} \tag{2.A-3}$$

と求められる。

### (iii) たわみの図示

$v(x)$ について、 $v_1(x), v_2(x)$ より対称性を考慮し、以下の図 2.A-2 に示す。

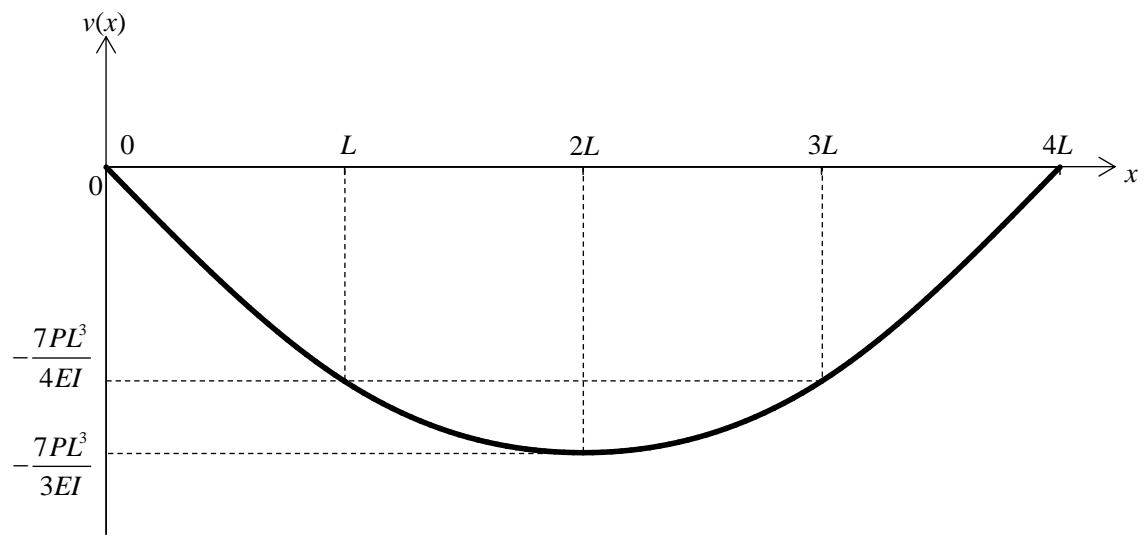


Fig. 2.A-2 はりのたわみ.